



## بررسی تغییرات هیستوپاتولوژی بافت ریه، کبد و قلب بیماران مبتلا به covid-19 مراجعةه کننده در بیمارستان رازی رشت

معصومه فغانی<sup>۱</sup>، عرفان ناصری<sup>۲</sup>، فهیمه محمدقاسمی<sup>۱</sup>، پریدخت کریمیان<sup>۳\*</sup>

- ۱- دانشیار- مرکز تحقیقات سلوی و مولکولی- گروه علوم تشریح- دانشکده پزشکی- گیلان- رشت- ایران.
- ۲- دانشجوی کارشناسی ارشد- گروه علوم تشریح- کمیته تحقیقات دانشجویی- دانشکده پزشکی- دانشگاه علوم پزشکی گیلان- رشت- ایران.
- ۳- استادیار- گروه پاتولوژی- دانشکده پزشکی- دانشگاه علوم پزشکی گیلان- رشت- ایران.

تاریخ دریافت: ۱۴۰۰/۰۲/۱۲، تاریخ پذیرش: ۱۴۰۰/۰۶/۱۹

### چکیده

**مقدمه:** کووید ۱۹ یک بیماری عفونی نوظهور و حاد تنفسی می‌باشد که با قدرت شیوع بالا، کشورهای گستردگی را درگیر کرده است. بیماری با ایجاد نارسایی پیشرونده تنفسی، درگیری ارگان‌های دیگر و در نتیجه ایجاد مشکلات سیستمیک، می‌تواند منجر به مرگ شود. پژوهش حاضر به منظور بررسی تغییرات هیستوپاتولوژی بافت ریه، کبد و قلب بیماران مبتلا به covid-19 انجام شد.

**مواد و روش‌ها:** در این مطالعه از سه ارگان ریه، کبد و قلب ۶ بیمار مبتلا به کرونا در بیمارستان رازی رشت بعد از فوت و اخذ رضایت از خانواده متوفی، بیوپسی سوزنی انجام گرفت. تمامی نمونه‌ها توسط هماتوکسیلین و انوزین رنگ‌آمیزی شدند. یافته‌های سروپولوژی و پاراکلینیک بیماران ارزیابی گردید.

**نتایج:** نمونه‌برداری بافتی، آسیب آلوئولی پیشرفته و احتقان عروقی را در ریه اکثر بیماران را نشان داد. ترومبوز عروقی کوچک در ریه بیماران با ساقه بالینی پیشرفته مشاهده شد. بررسی آسیب شناسی بافت کبد نشان‌دهنده التهاب اطراف ناحیه پورتال و گسترش استئاتوز در سلول‌های کبدی بود. علاوه بر این میوکاردیت خفیف در بافت قلب دیده شد.

**نتیجه‌گیری:** بر اساس نتایج این تحقیق، تغییرات بافت‌های کبد، قلب و ریه در بیماران این مطالعه ممکن است به دلیل عوارض جانبی ثانویه ناشی از COVID-19، درمان‌های دارویی متفاوت در ابتدای مواجهه با بیماری کووید-۱۹ و یا اثر سوابق بالینی بیماران باشد.

**واژه‌های کلیدی:** هیستوپاتولوژی، قلب، ریه، کبد، کووید-۱۹.

**نویسنده مسئول:** رشت- خیلان سردار جنگل، بیمارستان و مرکزآموزشی درمانی رازی، بخش پاتولوژی کدپستی: ۴۱۴۴۸، تلفن: ۰۱۲۳۵۵۰۰۲۸، نمبر: ۰۱۲۳۵۵۹۷۸۷، E-mail: paridokhtkarimian@yahoo.com

**ارجاع:** معصومه فغانی، عرفان ناصری، فهیمه محمدقاسمی، پریدخت کریمیان. بررسی تغییرات هیستوپاتولوژی بافت ریه، کبد و قلب بیماران مبتلا به covid-19 مراجعته کننده در بیمارستان رازی رشت. مجله دانش و تدرستی در علوم پایه پزشکی ۱۶؛ ۱۴۰۰: ۵۵-۶۴.

## مقدمه

بیماری‌های عفونی نو ظهور، مانند سندرم حاد تنفسی شدید (SARS) و بیماری ویروس Zika تهدید عمده‌ای برای سلامت عمومی می‌باشد (۱ و ۲). علیرغم تلاش‌های گسترده تحقیقاتی، هنوز در مورد چگونگی، زمان و کجایی بیماری‌های جدید نمی‌توان با اطمینان اظهارنظر کرد. بیماری کووید-۱۹ یک بیماری شدید تنفسی با سرعت انتشار بالا است و سازمان بهداشت جهانی در ۱۱ مارس ۲۰۲۰، همه‌گیری جهانی این بیماری را اعلام نمود (۳). براساس گزارش سازمان جهانی بهداشت این بیماری تا ۱۸ مارس ۲۰۲۱ از زمان گزارش اولین بیمار، حدود ۲۶۷۴۰۷۸ نفر در جهان جان خود را از دست داده‌اند و بیشتر از ۱۲۰ میلیون نفر به آن مبتلا شده‌اند (۴). میزان موارد منجر به مرگ در منابع متغیر گزارش شده است، بیماری سیر پیشرونده شدید دارد و با توجه به آسیب آلوئول‌ها و نارسایی پیشرونده تنفسی ممکن است منجر به مرگ شود (۵ و ۶).

تبیین توالی RNA متازنومی از نمونه مایع برونوکولاوئولار یک بیمار مبتلا به ویروس کووید-۱۹، مشخص نمود که RNA ویروس جدید از خانواده Coronaviridae است. توالی ژنوم SARS-CoV-2 ۸۲٪ با SARS-CoV و ۵۰٪ با توالی ژنوم کروناویروس سندرم تنفسی خاورمیانه (MERS-CoV) تشابه دارد، در هر سه بیماری عالیم شدید تنفسی ایجاد می‌شود (۷ و ۸). هر دو ویروس ۲ SARS COV و SARS COV برای ورود به سلول هدف خود به گیرنده مبدل آنزیوتانسیون ۲ متصل می‌شوند، سپس تکثیر ویروس رخ می‌دهد (۹). در اثر تکثیر ویروس سلول‌های دیگر در دستگاه تنفسی فوقانی و بافت ریه آلوده می‌شود و بیماران در این مرحله عالیم بیماری را بروز می‌دهند (۱۰). مطالعات نشان می‌دهند که مبدل آنزیوتانسیون ۲ و سیستم رین آنزیوتانسیون نقش حفاظتی برای ایجاد فیروز و التهاب در اندام‌هایی مانند کبد و ریه دارد (۱۱). علاوه بر این مبدل آنزیوتانسیون ۲ به پیتیدهای موجود در گردش خون (مادر و جنین)، مایع لوله ای کلیه، مایع مغزی نخاعی، مایع بینایینی و مایع برونش دسترسی دارد (۱۲). گزارشات نشان می‌دهند که ویروس علاوه بر بافت ریه روی کبد، قلب، دستگاه گوارش، کلیوی، عصبي تاثیر می‌گذارد (۱۳-۱۷).

بیماری کووید-۱۹ در کشور ایران برای اولین بار در شهر قم گزارش شد (۱۸). متأسفانه به سرعت در نقاط دیگری از کشور نیز گسترش پیدا کرد و در حال حاضر به یک نگرانی ملی تبدیل شده است. براساس آمار وزارت بهداشت، درمان و آموزش پژوهشی درکشور ایران تا تاریخ ۷ اردیبهشت ۱۴۰۰ تعداد ۲۴۱۷۲۳۰ مورد مثبت گزارش شده است. از این تعداد ۱۸۹۲۲۹ مورد بهبود و ترجیح شده‌اند و متأسفانه ۷۰۰۷۰ بیمار نیز درگذشته‌اند (۴). در این تحقیق برای درک بیشتر یافته‌های

## نتایج

بالینی و هیستوپاتولوژیک بیماری COVID-19، شش مورد بیوپسی از بافت‌های ریه، قلب و کبد بیماران مبتلا به COVID-19 به همراه ویژگی‌های آزمایشگاهی آنان را ارزیابی شد.

## مواد و روش‌ها

در این مطالعه آنالیز هیستوپاتولوژیک بافت ریه، کبد و قلب ۶ بیمار که در اثر بیماری کووید-۱۹ در بیمارستان آموزشی درمانی رازی رشت (فروردين ۱۳۹۹) فوت نمودند، بعد از کسب مجوز از کمیته اخلاق دانشگاه با شماره IR.GUMS.REC.1399.012 آنجام شد. از همه بیماران مشکوک به کووید-۱۹ بر اساس پروتکلهای کشوری در ابتدای بستری در بیمارستان تست PCR از ترشحات نازوفارانکس آنجام و سپس تحت درمان قرار گرفتند. سوابق پژوهشی بیماران این تحقیق به صورت گذشته نگر مورد بررسی قرار گرفت.

با دریافت رضایت از خانواده بیماران، عمل بیوپسی بلا فاصله پس از مرگ بیماران آنجام شد. نمونه‌گیری سوزنی توسط نیدل‌های کوآکسیال نیمه اتوماتیک، بدون انجام کالبد شکافی از ریه‌ها، کبد و قلب انجام گرفت. برای نمونه‌گیری طبق دستورالعمل کشوری کرونا ویروس جدید (nCOV-2019) از تجهیزات حفاظت شخصی استفاده شد. نمونه‌گیری بدون راهنمایی سونوگرافی و با کمک از آخرین تصاویر رادیوگرافی، سی‌تی اسکن و نشانه‌های آناتومیک سطحی بیماران آنجام گرفت.

پس از نمونه‌گیری، بافت‌ها در فرمالمیں بافر خشی ۱۰٪ برای بیش از ۲۴ ساعت نگهداری شدند. سپس تحت اقدامات استاندارد اینمنی زیستی بلوک‌های بافتی تهییه شد. برای تهییه لام بافت‌شناسی از برش‌هایی با ضخامت ۴ میکرومتر استفاده شد. بهمنظور جلوگیری از آلودگی دانشکده به ویروسی کووید-۱۹، کلیه مراحل آماده‌سازی و پاساز نمونه‌های بافتی در آزمایشگاه پاتولوژی بیمارستان آنجام شد. لام‌ها توسط هماتوکسیلین و اوزین رنگ‌آمیزی گردید و اسلامیدها توسط متخصصین آسیب‌شناسی و بافت‌شناسی مورد بررسی قرار گرفتند. برای مشخص نمودن ویژگی‌های بافتی، آسیب سلولی و بینایینی با استفاده از مقیاس نیمه کمی توصیف و درجه‌بندی صورت گرفت. اطلاعات هیستوپاتولوژیک، دموگرافیک، سابقه پژوهشی، اسکن توموگرافی (CT) رایانه‌ای یا تصاویر اشعه ایکس از قسمه سینه، یافته‌های آزمایشگاهی (از جمله آزمایش‌های اسید نوکلئیک، شمارش کامل خون (CBC) و سایر پارامترهای بیوشیمیایی و مدت زمان بیماری کووید-۱۹ بررسی شد.

## نتایج

در این مطالعه ویژگی‌های بالینی و هیستوپاتولوژیک ریه، کبد و قلب شش بیمار (دو نفر زن و چهار نفر مرد) مبتلا به کووید-۱۹ با سن ۸۳-۵۷ و میانگین سنی ۷۴ سال در بیمارستان رازی رشت در فروردين

معنی دار در زمان Prothrombin time (PT) به جز در بیمار ۴ وجود نداشت. علاوه بر این در نیمی از بیماران افزایش قابل ملاحظه ای در میزان Partial thromboplastin time (PTT) وجود داشت. همچنین در یک بیمار (۵) کاهش پلاکت قابل توجه بود. آنمی در بیش از نیمی از موارد در بد و بستری وجود داشت یا در حین بستری (بیمار ۵) ایجاد شد. افزایش معنی دار LDH (lactate dehydrogenase) در بیماران این تحقیق در زمان بستری دیده شد. در بیمار ۴ نیز افزایش کراتینین AST (aspartate aminotransferase) قابل توجه بود.

۱۳۹۹ مورد بررسی قرار گرفتند. ویژگی های دموگرافیک و بالینی در جدول ۱، یافته های آزمایشگاهی بیماران در زمان بستری در جدول ۲ و در زمان مرگ در جدول ۳ آورده شده است.

نمودار ۱ برخی نتایج آزمایشگاهی بیماران را در روز پذیرش و قبل از فوت را نشان می دهد. افزایش غیرعادی گلbul های سفید در اکثر بیماران به جز بیماران ۴ و ۵ وجود داشت. افزایش WBC با توجه به میزان پاسخگویی به درمان، کنترل عفونت سیستمیک و نوع آنتی بیوتیک دریافتی بیماران، در طول بستری متغیر بوده است. تغییر

جدول ۱- خصوصیات بالینی و دموگرافیک بیماران

بیمار ۶	بیمار ۵	بیمار ۴	بیمار ۳	بیمار ۲	بیمار ۱	جنس
مرد	مرد	مرد	زن	مرد	زن	سن
۸۰	۷۷	۸۳	۸۳	۵۶	۶۴	مصرف سیگار
بله	خیر	بله	خیر	بله	بله	روزهای بستری
۱	۲۲	۴	۲	۳	۸	فشار خون
۷۹/۵۵	۱۱۰/۸۵	۱۱۰/۸۰	۱۶۰/۹۰	۱۰۰/۶۰	۱۴۰/۱۰۰	طرفیت اکسیژن
۶۸	۷۲	۸۹	۷۶	۷۳	۷۸	سرعت تنفس
۱۲	۲۳	۲۴	۲۰	۲۹	۲۸	ضریبان قلب
۱۶۰	۸۸	۱۲۰	۸۹	۱۳۲	۱۳۰	علایم بیماری
کاهش سطح هوشیاری و نارسایی تنفسی، همپوتی و رکوراژی	کاهش سطح هوشیاری و نارسایی تنفسی	ادم و تیرگی هوشیاری و نارسایی راست	کاهش سطح هوشیاری و نارسایی تنفسی	سرفه، تب، ضعف، تهوع و استقراغ	تب، سرفه تنگی نفس و درد عضلانی	
۳۶	۳۹/۵	۲۸	۳۷/۵	۲۸/۵	۳۹	دماهی بدن

جدول ۲- یافته های آزمایشگاهی بیماران در زمان بستری

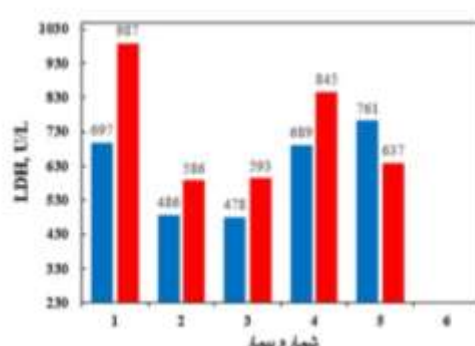
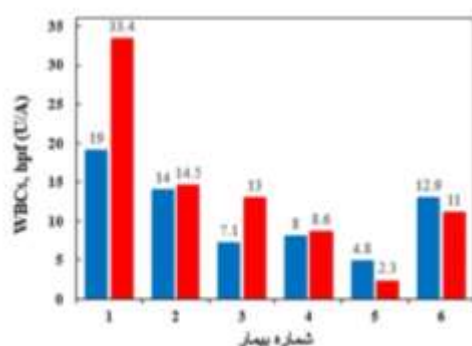
Normal range	بیمار ۶	بیمار ۵	بیمار ۴	بیمار ۳	بیمار ۲	بیمار ۱	
۱۱-۴	۱۱	۴/۸	۸	۱۳	۱۴	۱۹	WBCs, hpf (U/A)
۴/۵-۵/۱	۴/۳۹	۴/۱۴	۴/۳	۴/۱۵	۳/۹۴	۴/۰۲	RBCs, hpf (U/A)
۱۲/۳-۱۵/۳	۹/۶	۱۱/۲	۱۴	۱۲/۶	۹/۱	۹/۴	Hemoglobin, gr/dL
۳۵/۹-۴۴/۶	۳۲/۳	۳۳	۴۶	۴۰	۲۸/۵	۳۱	HCT
۱۵۰-۴۵۰	۲۶۰	۱۳۵	۱۹۱	۲۸۶	۳۰۹	۳۷۲	PLT
: متفق	N/A	N/A	۳۴	N/A	+۲	+۱	CRP, mg/L
۰/۸-۱/۲	۱	۰/۷	۱/۴	۰/۸	۵/۱	۰/۶	Creatinine, mg/dL
۱۳-۴۳	۲۸	۳۸	۳۱	۲۷	۱۰۵	۲۰	BUN, mg/dL
۱۳۵-۱۴۵	۱۴۰	۱۴۵	۱۳۷	۱۴۲	۱۷۰	۱۳۴	Na, mEq/L
۳/۵-۵/۳	۳/۴	۴	۴/۳	۴/۳	۶/۲	۴/۱	K, mEq/L
۱/۵۳-۲/۵	۱/۵	۲/۲	N/A	۳/۱	۲/۶	۱/۷	Mg, mEq/L
۸/۶-۱۰/۳	۸/۲	۷/۸	N/A	N/A	۸/۲	۹/۲	Ca, mEq/L
<۴۰	۱۰	۶۰	۲۸	N/A	۱۹	۱۷	ALT (SGPT), U/L
<۳۴	۲۲	۵۹	۳۶	N/A	۱۲	۱۲	AST (SGOT), U/L
۶۴-۳۰۶	۲۸۱	۳۶۷	۴۲۹	N/A	۴۰۳	N/A	ALP
۲۳۰-۴۸۰	N/A	N/A	۶۸۹	N/A	N/A	۶۹۷	LDH, U/L
<۲۰۰	۱۱۳	۱۲۹	۱۲۶	۱۸۵	۲۰۳	۱۱۹	Blood Sugar (BS)
۳/۵-۵/۵	۳/۵	۲/۹	N/A	۳/۲	۲/۹	۲/۸	Albumin, g/L
۱۱-۱۳/۵	۱۴/۴	۱۴	۱۴	۱۳	۱۱/۲	۱۲/۵	PT, seconds
۲۴-۴۰	۲۸	۲۹	۲۲	۳۵	۲۸	۲۷	PTT, seconds

WBC: White blood cell, RBC: Red blood cell, HCT: Hematocrit, PLT: Platelets, CRP: C-reactive protein, BUN: blood urea nitrogen, Na: Sodium, K: Potassium, Mg: Magnesium, Ca: Calcium, AST: Aspartate aminotransferase; ALT: Alanine aminotransferase, ALP: Alkaline phosphatase; LDH: Lactate dehydrogenase, PT: Pro-thrombin time; PTT: Partial thromboplastin time. N/A: not assessed

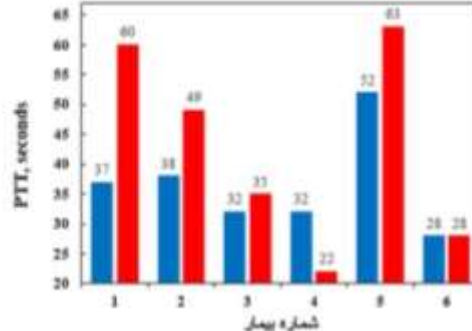
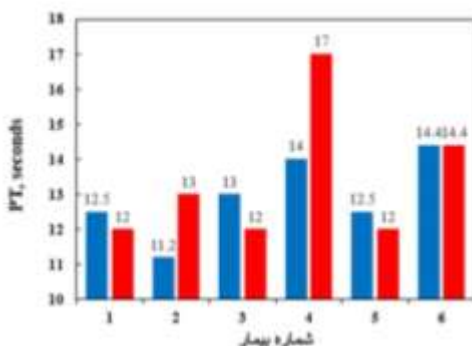
جدول ۳- یافته‌های آزمایشگاهی بیماران در زمان مرگ

Normal range	بیمار ۶	بیمار ۵	بیمار ۴	بیمار ۳	بیمار ۲	بیمار ۱	
۱۱-۴	۱۱	۹	۸/۶	۱۳	۱۴/۵	۳۳/۴	WBCs, hpf (U/A)
۴/۵-۵/۱	۴/۲۹	N/A	۴/۶	۴/۱۵	۴/۳	۳/۸۹	RBCs, hpf (U/A)
۱۲/۳-۱۵/۳	۹/۶	۸/۴	۱۳/۸	۱۲/۶	۹/۶	۶/۳	Hemoglobin, gr/dL
۳۵/۹-۴۴/۶	۳۲/۳	۲۶/۱	۴۴/۲	۴۰	۲۴/۳	N/A	HCT
۱۵۰-۴۵۰	۲۶۰	۳۶	۲۱۷	۲۸۶	۱۷۴	۲۰۴	PLT
<۶: منفی	N/A	N/A	N/A	N/A	+1	N/A	CRP, mg/L
۰/۶-۱/۲	N/A	۱	۲/۵	۰/۸	۴/۳	۰/۹۷	Creatinine, mg/dL
۱۳-۴۳	N/A	۲۷	۴۱	۲۷	۷۷	۳۰	BUN, mg/dL
۱۳۵-۱۴۵	N/A	۱۴۹	۱۴۱	۱۴۲	۱۳۱	۱۴۱	Na, mEq/L
۲/۵-۵/۳	N/A	۴/۶	۴/۷	۴/۳	۴/۳	۴/۹	K, mEq/L
۱/۵۳-۲/۵	N/A	۲/۹	۳/۲	۳/۱	۲/۳	۲/۳	Mg, mEq/L
۸/۸-۱۰/۳	N/A	N/A	N/A	N/A	۸/۵	N/A	Ca, mEq/L
<۴۰	N/A	N/A	۴۱	N/A	۲۸	N/A	ALT (SGPT), U/L
<۲۴	N/A	N/A	۶۹	N/A	۳۰	N/A	AST (SGOT), U/L
۵۴-۳۰.۶	N/A	N/A	۳۷۸	N/A	۴۵۰	N/A	ALP
۲۳۰-۴۸۰	N/A	N/A	N/A	N/A	N/A	N/A	LDH, U/L
<۲۰۰	N/A	۱۱۸	۱۱۸	۱۸۵	۱۷۵	N/A	Blood Sugar (BS)
۳/۵-۵/۵	N/A	N/A	N/A	۳/۲	۳/۲	N/A	Albumin, g/L
۱۱-۱۳/۵ ثانیه	N/A	۱۴/۵	۱۷	۱۳	۱۲	۱۲	PT, seconds
۲۴-۴۰ ثانیه	N/A	۶۴	۲۲	۲۵	۴۹	۶۰	PTT, seconds

WBC: White blood cell, RBC: Red blood cell, HCT: Hematocrit, PLT: Platelets, CRP: C-reactive protein, BUN: blood urea nitrogen, Na: Sodium, K: Potassium, Mg: Magnesium, Ca: Calcium, AST: Aspartate aminotransferase, ALT: Alanine aminotransferase, ALP: Alkaline phosphatase, LDH: Lactate dehydrogenase, PT: Pro-thrombin time; PTT: Partial thromboplastin time. N/A: not assessed



اولین داده ثبت شده  
آخرین داده ثبت شده



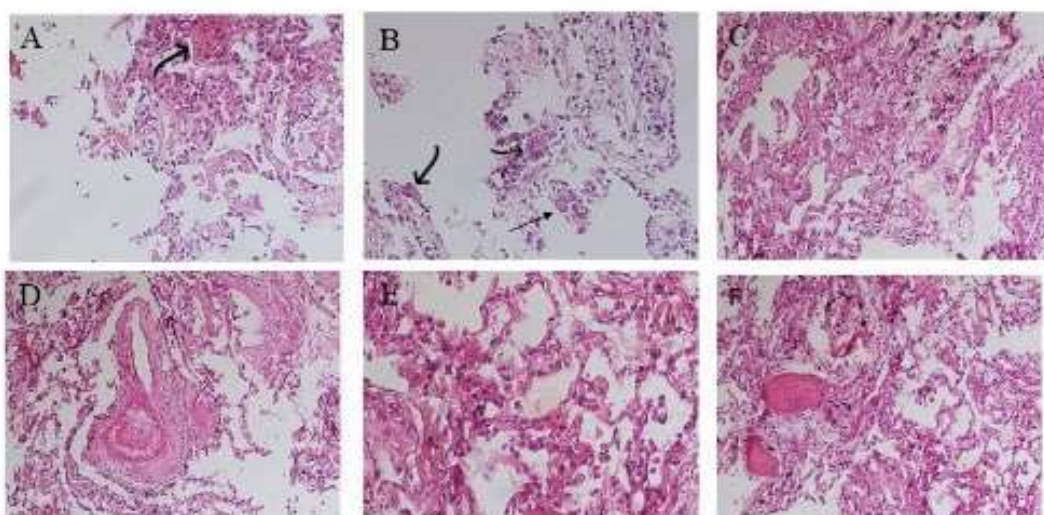
نمودار ۱- نتایج هماتولوژیک بیماران در روز پذیرش و قبل از فوت

در بافت کبد بیمار ۱ تغییرات غیراختصاصی التهابی ناشی از نفوذ سلول‌های تک‌هسته‌ای در ناحیه پورتال، به همراه احتقان سینوسی و استئاتوز میکرو وزبکولر اطراف پورتی با شدت کم در سلول‌های کبدی را نشان می‌دهد (شکل A۲). در کبد بیمار ۴ و ۶ تجمع گلیکوژن هسته‌ای بزرگ و احتقان سینوسی متوسط مشاهده شد. همچنین در بافت کبد اکثر بیماران نفوذ سلول‌های تک‌هسته‌ای در مناطق پورتال مشهود بود. نفوذ سلول‌های التهابی و فیروز خفیف در اطراف ناحیه ایترالوبولار به همراه احتقان سینوسی خفیف در بیمار ۲ و ۵ مشاهده گردید. تجمع گلیکوژن هسته‌ای بزرگ با تراکم بیشتر در سلول‌های کبدی و احتقان سینوسی متوسط در بیمار ۶ مشاهده گردید (شکل ۲ و جدول ۴).

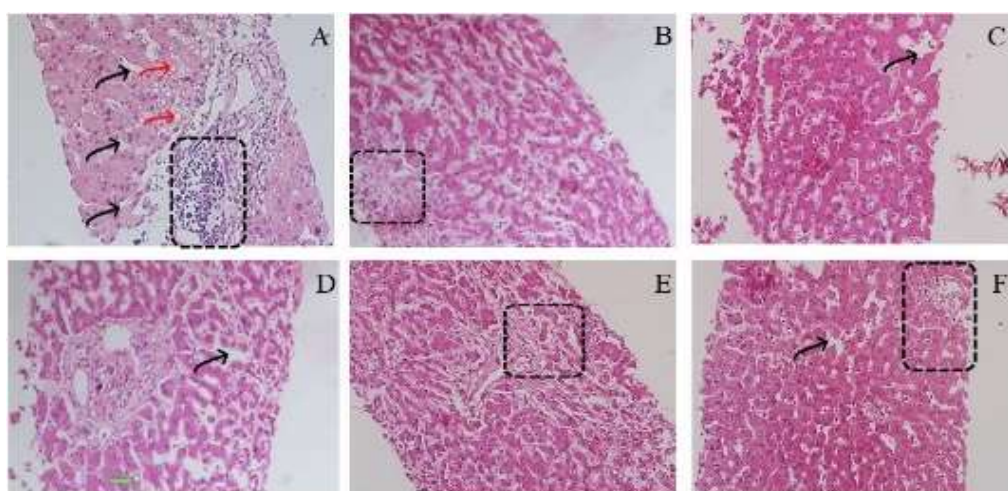
در بررسی نمونه‌برداری از قلب بیماران، نفوذ زیاد و قابل توجه سلول‌های التهابی در لایه‌های اندومیزیوم پریمیزیوم رویت نگردید. در حالیکه ادم بینایینی خفیف در اکثر بیماران به همراه نفوذ خفیف سلول‌های التهابی در اندومیزیوم و پریمیزیوم مشاهده شد. از نظر کانونی، میوکارد با سیتوپلاسم تیره شکل نامنظم در اکثر بیماران مشهود بود. همچنین درجات مختلفی از ادم کانونی، فیروز بینایینی و هیپرتروفی میوکارد در نمونه‌های مورد بررسی مشاهده گردید، اما این تغییرات برای تفسیر به عنوان آسیب حاد میوکارد کافی نیست و یافته‌های اخیر احتمالاً نشان‌دهنده تغییرات قبلی مربوط به بیماری‌های زمینه‌ای بیماران، عوارض دارویی و یا ناشی از تهاجم بافتی به دنبال بیماری اخیر می‌باشد (شکل ۳ و جدول ۴).

در ریه تغییرات متفاوتی مشاهده گردید که همگی بیانگر مرحله‌ای از تخریب آلئولی منتشر (Diffuse alveolar damage:DAD) بود.

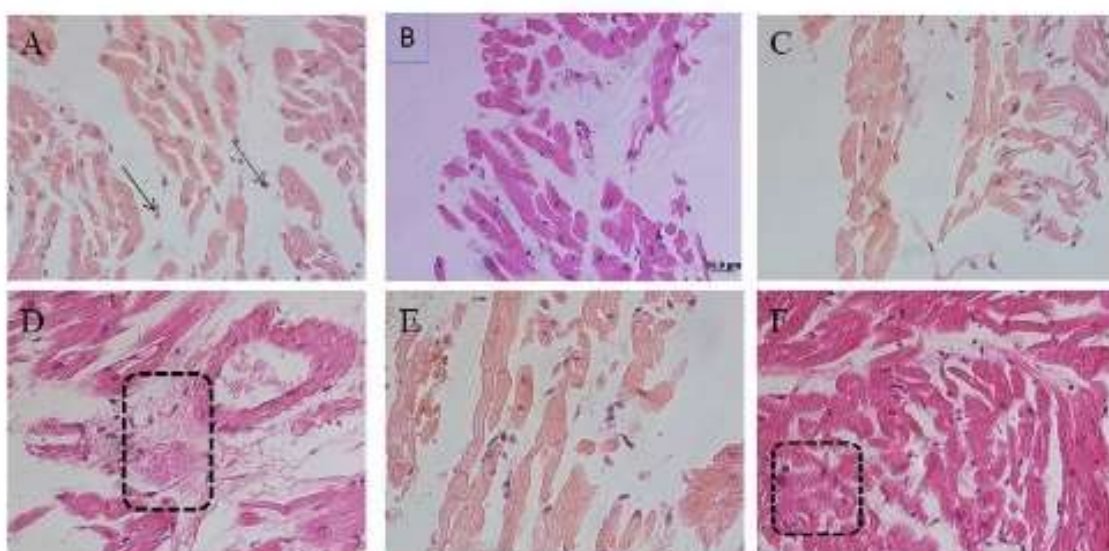
در بیمار ۱ ضخامت دیواره آلئول افزایش یافته که با تکثیر سلول‌های فیبروبلاست و تشکیل توب فیبروبلاستی (شکل A۱) همراه با فیروز خفیف و هیپرپلازی بافت بینایینی و پنوموسیت نوع II و تشکیل سلول غول‌پیکر (شکل B۱) در دیواره آلئول‌های ریه، همراه با ارتشاج سلول‌های التهابی به‌ویژه ماکروفاژها در فضای آلئولی مشاهده شد. در بیماران ۲ و ۳ و ۴ و ۵ و ۶ احتقان عروقی دیده شد و دیواره آلئول تک‌هسته‌ای بود (شکل E۱). در بیماران ۴ و ۶ علاوه بر نکروز فیبرینویید عروق کوچک و متوسط (شکل D,F۱)، گاهی اوقات این سلول‌ها با سلول‌های التهابی ناچیز همراه بودند که نشان‌دهنده یک جز فاز حاد التهابی است. در بررسی بافت ریهی بیمار ۲ نفوذ سلولی التهابی دیده شد ولی در بیمار ۳ به صورت کانونی و فیروز بینایینی خفیف مشخص شد. در بیمار ۶ تغییرات پیشرفته‌تری به همراه بقایابی غشای هیالین در برخی از فضاهای هوایی، مناطق زیادی از خونریزی داخل آلئولی و تشکیل خوشة فیبرین داخل آلئولی مشاهده شد. علاوه بر این، دیواره آلئولار حاوی سلول‌های استرومایی، فیبرین و نفوذ سلول‌های التهابی تک‌هسته‌ای بود (شکل F۱). همراه با هیپرپلازی پنوموسیت نوع II، که منجر به ضخیم‌شدن بافت بینایینی و نکروز فیبرینویید عروق کوچک شده است (شکل ۱ و جدول ۴).



شکل ۱ - پاتولوژی بیوپسی سوزنی بافت ریه بیماران: تکثیر سلول‌های فیبروبلاست و تشکیل توب فیبروبلاستی (شکل A پیکان) همراه با افزایش ضخامت دیواره آلئول (شکل C و E ستاره). هیپرپلازی پنوموسیت نوع II با تشکیل سلول غول پیکر (شکل B). نکروز فیبرینویید عروق کوچک و متوسط (شکل F پیکان): بزرگنمایی H&E، ×100.



شکل ۲- پاتولوژی بیوپسی سوزنی کبد بیماران. پیکان‌های قرمز نشان‌دهنده استئاتوز در سلول‌های کبدی (شکل A)، پیکان سیاه نشان‌گر احتقان سینوسی و مستطیل مشکی رنگ، التهاب اطراف ناحیه پورتال را نشان می‌دهد (شکل A,F). التهاب و فیبروز اینترالوبولار (شکل E) مریع مشکی؛ بزرگنمایی  $\times 100$ ، رنگ‌آمیزی H&E.



شکل ۳- پاتولوژی بیوپسی سوزنی قلب بیماران: ارتضاح انک پرمیزیوم (شکل A پیکان). ادم بینایینی (شکل D مستطیل). میوسیت باسیتو پلاسم تیره (شکل F): بزرگنمایی  $\times 100$ ، رنگ‌آمیزی H&E.

جدول ۴- خلاصه نتایج هیستوپاتولوژیک بیماران

شماره بیمار	کبد	ریه	قلب
۱	احتقان سینوزوئید استئاتوز میکروزیکول اطراف پورت التهاب پورت (++)	تکثیر سلول‌های فیبروبلاست تکثیر پنوموسیت نوع ۲	
۲	احتقان سینوزوئید هسته‌ی گلیکوژنه التهاب و فیبروز داخل لوبلی التهاب پورت (++)	اضحیات دیواره آلوئولی به همراه تکثیر فیبروبلاست و ارتضاح سلول‌های التهابی تک‌هسته‌ای تکثیر سلول‌های پنوموسیت تایپ ۲ به همراه تشکیل سلول‌های غول پیکر	ادم بینایینی ارتضاح انک پرمیزیوم

<p>ادم بیناینی ارت翔 اندک پریمیزیوم آندومیزیوم</p> <p>ادم بیناینی ارت翔 اندک پریمیزیوم</p> <p>ادم بیناینی ارت翔 اندک پریمیزیوم</p> <p>ادم بیناینی ارت翔 اندک پریمیزیوم میوسیت باسیتو پلاسم تیره</p>	<p>ضخامت دیواره آلوئولی به همراه تکثیر فیبروبلاست و ارت翔 سلول‌های التهابی تک هسته‌ای تکثیر سلول‌های پنوموسیت تایپ ۲ به همراه تشکیل سلول‌های غول پیکر نکروز فیبرینوئید عروق فیبروز بیناینی</p> <p>ضخامت دیواره آلوئولی به همراه تکثیر فیبروبلاست و ارت翔 سلول‌های التهابی تک هسته‌ای</p> <p>ضخامت دیواره آلوئولی به همراه تکثیر فیبروبلاست و ارت翔 سلول‌های التهابی تک هسته‌ای نکروز فیبرینوئید عروق</p> <p>ضخامت دیواره آلوئولی به همراه تکثیر فیبروبلاست و ارت翔 سلول‌های التهابی تک هسته‌ای نکروز فیبرینوئید عروق فیبروز بیناینی</p>	<p>۳ احتقان سینوزوئید التهاب پورت (+)</p> <p>۴ هسته‌ی گلیکوژنه التهاب پورت (++) احتقان سینوزوئید</p> <p>۵ التهاب پورت (++) التهاب و فیبروز داخل لوبولی</p> <p>۶ احتقان سینوزوئید التهاب پورت (++) هسته‌ی گلیکوژنه</p>
---------------------------------------------------------------------------------------------------------------------------------------------------------------------------------------------------------------------	-------------------------------------------------------------------------------------------------------------------------------------------------------------------------------------------------------------------------------------------------------------------------------------------------------------------------------------------------------------------------------------------------------------------------------------------------------------------------------------------------------------------------------------------------------------	---------------------------------------------------------------------------------------------------------------------------------------------------------------------------------------------------------------------------------------------------------------

## بحث

بیماران شماره ۴ و ۵ نکروز فیبرینوئید عروق کوچک دیده شد. نتایج مطالعه ایکسو و همکاران نشان داد که ضایعات ریه مهم‌ترین آسیب ناشی از عفونت SARS-CoV-2 می‌باشد این محققین گزارش کردند که آسیب کبدی در طی بیماری رخ می‌دهد و با شدت بیماری ارتباط دارد (۲۲ و ۲۳). از سوی دیگر عداحافظ و همکاران نشان دادند که ACE2 اثر محافظتی بر فیبروژنر و التهاب اندام‌های مختلف، کبد و قلب، کلیه، کبد، ریه، مغز، لوزالمده و بافت چربی نشان داده شده است. بر این اساس سیستم آنژیوتانسین رینین نقش مهمی در ایجاد فیبروز بافت بهویژه در ریه و کبد داشته باشد. بیان اجزای سیستم آنژیوتانسین رینین در بسیاری از بافت‌ها از جمله قلب، کلیه، کبد، ریه، مغز، لوزالمده و بافت چربی نشان داده شده است. بر این اساس واضح است که این دو عامل کلیدی برای محافظت از سیستم‌های قلبی عروقی، گوارشی، ادراری تناسلی و عصبی با هم عمل می‌کنند (۲۴ و ۲۵). ACE-2، به عنوان یک فاکتور اصلی فعال‌سازی مسیر RAS و گیرنده مشترک ویروس کرونا فعالیت می‌کند و ویروس از آن برای ورود به بافت‌های مختلف از جمله ریه، کبد، قلب و مغز استفاده می‌کند (۱۲ و ۲۴).

علاوه بر کبد و ریه، ارگان‌های دیگر مثل کلیه و قلب نیز در این بیماری دچار مشکل می‌شوند (۱۷ و ۲۶). برخی از مطالعات بیان می‌کنند که ویژگی‌هایی مانند لنفوسيتوپنی، آسیب میوکارد و درگیری قلبی همه از ویژگی‌های بارز بیماری کووید-۱۹ هستند و از نظر پیش آگهی ارزش دارند (۲۶-۲۹). همچنانی بیان شده است که درگیری قلبی، حداقل در سطح افزایش نشانگرهای زیستی که شامل تروپوپین I و پیتید ناتریورتیک از نوع مغزی، آریتمی‌ها، سکته قلبی و نارسایی قلبی، مشکلات ریوی و کبدی و همچنانی تظاهرات آسیب میوکارد، یک ویژگی برجسته در Covid-19 است.

این مقاله گزارش یافته‌های بالینی، بیمارستانی و هیستوپاتولوژیک بافت‌های ریه، قلب و کبد و شش بیمار مبتلا به COVID-19، از استان گیلان می‌باشد. اکثر افراد شرکت‌کننده در این مطالعه دارای بیماری‌های زمینه‌ای بودند و ابتلا به بیماری از طریق آلودگی خانگی در همه آنان وجود داشت. علایم و نشانه‌های شایع در این بیماران شامل تب، تنگی نفس، سرفه، کاهش سطح هوشیاری، ضعف و درد عضلانی بود. در همه‌گیری کنونی مانند سایر بحران‌های بهداشتی جهانی امکان دارد بهدلیل اجبار دولت به قرنطینه خانگی و دوری از محیط‌های عمومی برای جلوگیری از شیوع بیماری، احتمال ابتلای افراد مسن بهدلیل ملاقات با افراد جوان و ناقل فامیل بالا می‌رود. کرونا ویروس‌ها متعلق به خانواده بزرگی از ویروس‌ها هستند که در حیوانات یا انسان بیماری ایجاد می‌کنند (۸ و ۱۹). در انسان ویروس‌های متعددی مانند سرماخوردگی، سندرم تنفسی خاورمیانه (MERS)، سندرم شدید تنفسی حاد (SARS) و ویروس عامل بیماری کووید-۱۹ (CoV-SARS-2) باعث عفونت‌های تنفسی خفیف تا شدید می‌شوند. کرونا ویروس ۲-CoV-SARS با سرعت بالا در دستگاه تنفسی فوقانی تکثیر می‌یابد و سپس موجب درگیری دستگاه تنفسی تحتانی می‌شود (۱۹ و ۲۰). در موارد شدید بیماری با نارسایی تنفسی، شوک عفونی و نارسایی در سایر ارگان‌های بدن همراه است (۲۱). در مطالعه حاضر فیبروز خفیف، هیپرپلازی بین بافتی پنوموسیت نوع II به صورت تشکیل سلول غول پیکر در دیواره آلوئول، سلول‌های التهابی در فضای آلوئول در بیمار شماره ۱، احتقان عروقی و سلول‌های التهابی تک هسته‌ای در بیمار شماره ۲ و در

هموپتری و رکتوراژی نیز دیده شد. این عالیم ممکن است نشان دهنده مشکلات پاتولوژی در سایر عروق بدن نیز باشد.

در مطالعه حاضر چند محدودیت وجود داشت. گرفتن نمونه از اندامهای دیگر بیماران امکان پذیر نبود و نمونه ها بهدلیل انجام نمونه برداری سوزنی اندازه کوچکی داشتند. از طرف دیگر، محققان مجاز به کالبدشکافی بیماران برای بررسی دقیق تر هیستوپاتولوژیک بیماری نبودند و بهدلیل استمرار شرایط اضطراری بیماری Covid-19، انجام مطالعات بافتی با میکروسکوپ الکترونی فراهم نشد.

نمونه برداری از بافت ریه در اکثر بیماران در این مطالعه آسیب آلوئولار پیشرفتہ و اختناق عروقی همراه با نکروز فیبرینوئید عروق کوچک را نشان داد. در بیمارانی که سابقه بالینی پیشرفتہ تری داشتند، التهاب ناحیه اطراف ورید پورت در کبد، گسترش استئاتوز در سلول های کبدی و میوکاردیت خفیف در قلب دیده شد. به نظر می رسد که تغییراتی که در این بافت های مطالعه ما دیده می شود ممکن است بهدلیل عوارض جانبی ثانویه COVID-19، درمان های دارویی مختلف که در ابتدای قرار گرفتن در معرض Covid-19 به علت عدم درمان شناخته شده بیماری و یا استفاده از داروهایی بهدلیل بیماری های زمینه ای قبلی و در دسترس نبودن نمونه بافت شناسی در زمان بدو بستری بیماران باشد.

### تشکر و قدردانی

بدین وسیله از معاونت تحقیقات فناوری دانشگاه علوم پزشکی گیلان جهت حمایت مالی این تحقیق قدردانی می گردد. همچنین از کادر درمان بیمارستان رازی رشت به جهت همکاری صمیمانه آنها در انجام این پروژه تشکر می گردد.

### References

- Wu F, Zhao S, Yu B, Chen YM, Wang W, Song ZG, et al. A new coronavirus associated with human respiratory disease in China. *Nature* 2020;579:265-9. doi: 10.1038/s41586-020-2008-3
  - Hwang DM, Chamberlain DW, Poutanen SM, Low DE, Asa SL, Butany J. Pulmonary pathology of severe acute respiratory syndrome in Toronto. *Mod Pathol* 2005;18:1-10. doi:10.1038/modpathol.3800247
  - WHO Director-General's opening remarks at the media briefing on COVID-19 - 11 March 2020 [Internet]. World Health Organization. 2020 [cited 2021 Mar 19]. Available from: <https://www.who.int/director-general/speeches/detail/who-director-general-s-opening-remarks-at-the-media-briefing-on-covid-19---11-march-2020>
  - WHO Coronavirus Disease (COVID-19) Dashboard | WHO Coronavirus Disease (COVID-19) Dashboard [Internet]. 2020 [cited 2021 Feb 2]. Available from: <https://covid19.who.int/>
  - Chaibakhsh S, Pourhoseingholi A, Vahedi M. Global incidence and mortality rate of covid-19; Special focus on Iran, Italy and China. *Arch Iran Med* 2020;23:455-61. doi: 10.34172/aim.2020.42
  - Coronavirus Death Rate (COVID-19) - Worldometer. 2021.
- در مطالعه ما، اکثر بیماران دارای تغییرات بافتی قلبی از جمله ادمیناینی و نفوذ خفیف سلول های التهابی به داخل اندومیزیوم و پرمیزیم بودند. به نظر می رسد که این تغییرات بافتی ممکن است بهدلیل بالا بودن سن بیماران، بیماری های زمینه ای، عوارض جانبی داروهای ضد ویروسی یا اثر غیرمستقیم بیماری Covid-19 بر روی سلول های قلب بیماران باشد. نشان داده شده است که آسیب قلبی ریوی می تواند توسط مکانیسم های مستقیم یا غیرمستقیم ویروس ایجاد شود. مکانیسم مستقیم شامل نفوذ ویروسی به بافت میوکارد و در نتیجه مرگ و التهاب کاردیومیوسیت ها است (۳۰ و ۳۱). مکانیسم های غیرمستقیم شامل استرس قلبی ناشی از نارسایی تنفسی، تاثیر بر عملکرد ریوی، هیپوکسمی و قلبی است (۲۴). نتایج بیوپسی ریه و کبد مرد ۵۰ ساله مبتلا به بیماری کرونا، آسیب دو طرفه منتشر آلوئول با تشکیل غشای هیالین، استئاتوز میکروسکولار متوسط و فعلیت خفیف لوبولار و پورتال را نشان دادند (۳۲). در مطالعه حاضر، تغییرات بافت شناسی متفاوتی در بیماران مبتلا به Covid 19 در بافت های ریه، کبد و قلب مشاهده شد. نتایج مطالعه چن و همکاران نشان داد که فشار خون بالا، دیابت و بیماری کرونر قلب می تواند بر شدت COVID-19 تأثیر بگذارد، که ممکن است بهدلیل عدم تعادل آنزیم تبدیل کننده آنتربوتانسین ۲ و طوفان سیتوکین ناشی از اختلالات متابولیک گلیکولیپید باشد (۳۳). این محققان اظهار می دارند کسانی که قبل از بیماری قلبی مبتلا شده اند مانند نارسایی قلبی و فشار خون بالا، عفونت با ویروس Covid-19 می تواند بیماری را تشدید کرده و منجر به نارسایی قلبی یا سکته مغزی یا اختلالات جدید ریتم قلب شود. به نظر می رسد، با توجه به اینکه عفونت ویروس کرونا در افراد مبتلا به بیماری قلبی پیش آگهی نامطلوبی دارد، بنابراین باید توجه ویژه و بیشتری به این گروه از بیماران توجه شود علاوه بر این، نتایج تحقیقات نشان می دهد که بیماری های قلبی عروقی بیشتر در بیماران COVID-19 دیده می شود و این بیماران در معرض خطر بیشتری برای مرگ و میر هستند (۳۴ و ۳۵). البته کاملاً مشخص نیست که آیا وجود بیماری های قلبی عروقی یک خطر مستقل دارد یا اینکه بهدلیل عوامل دیگری ایجاد می شود (به عنوان مثال سن). بررسی پاتولوژیک نمونه های بافتی در این مطالعه تغییرات مختلف در قلب، ریه و کبد بیماران مبتلا به بیماری COVID-19 را نشان می دهد که ممکن است بهدلیل درگیری بافت در طول بیماری باشد. در بیماران ۴ و ۶ که نکروز فیبرینوئید عروق در بررسی پاتولوژی ریه مشاهده گردید در عالیم بالینی به ترتیب ادم و تیرگی اندام تحتانی،

7. Kannan S, Subbaram K, Ali S, Kannan H. Molecular characterization and amino acid homology of nucleocapsid (N) Protein in SARS-CoV-1, SARS-CoV-2, MERS-CoV, and bat coronavirus. *J Pure Appl Microbiol* 2020;1:757-63. doi:[10.22207/JPAM.14.SPL1.13](https://doi.org/10.22207/JPAM.14.SPL1.13)
8. Zhu Z, Lian X, Su X, Wu W, Marraro GA, Zeng Y. From SARS and MERS to COVID-19: A brief summary and comparison of severe acute respiratory infections caused by three highly pathogenic human coronaviruses. *Respir Res* 2020;21:1-14. doi: [10.1186/s12931-020-01479-w](https://doi.org/10.1186/s12931-020-01479-w)
9. Chen L, Li X, Chen M, Feng Y, Xiong C. The ACE2 expression in human heart indicates new potential mechanism of heart injury among patients infected with SARS-CoV-2. *Circulation* 2020;116:1097-100. doi: [10.1093/cvr/cvaa078](https://doi.org/10.1093/cvr/cvaa078)
10. Yin Y, Wunderink RG. MERS, SARS and other coronaviruses as causes of pneumonia. *Respirology* 2018;23:130-7. doi: [10.1111/resp.13196](https://doi.org/10.1111/resp.13196)
11. Abdul-Hafez A, Mohamed T, Omar H, Shemis M, Uhal BD. The renin angiotensin system in liver and lung: impact and therapeutic potential in organ fibrosis. *J Lung Pulm Respir Res* 2018;5.
12. South AM, Diz DI, Chappell MC. COVID-19, ACE2, and the Cardiovascular Consequences. *Am J Physiol Circ Physiol* 2020;318. doi:[10.1152/ajpheart.00217.2020](https://doi.org/10.1152/ajpheart.00217.2020)
13. Zhou Z, Zhao N, Shu Y, Han S, Chen B, Shu X. Effect of Gastrointestinal Symptoms in Patients With COVID-19. *Gastroenterology* 2020;158:2294-7. doi: [10.1053/j.gastro.2020.03.020](https://doi.org/10.1053/j.gastro.2020.03.020)
14. Han H, Xie L, Liu R, Yang J, Liu F, Wu K, et al. Analysis of heart injury laboratory parameters in 273 COVID-19 patients in one hospital in Wuhan, China. *J Med Virol* 2020;92:819-23. doi: [10.1002/jmv.25809](https://doi.org/10.1002/jmv.25809)
15. Amir E, Fatemeh J, Neda P, Ali A. Prevalence of Underlying Diseases in Hospitalized Patients with COVID-19: a Systematic Review and Meta-Analysis. *Arch Acad Emerg Med* 2020;8:e35-e35.
16. Chai X, Hu L, Zhang Y, Han W, Lu Z, Ke A, et al. Specific ACE2 expression in cholangiocytes may cause liver damage after 2019-nCoV infection. *Biorxiv* 2020; doi: [10.1101/2020.02.03.931766](https://doi.org/10.1101/2020.02.03.931766)
17. Su H, Yang M, Wan C, Yi L-X, Tang F, Zhu H-Y, et al. Renal histopathological analysis of 26 postmortem findings of patients with COVID-19 in China. *Kidney Int*. 2020; doi: [10.1016/j.kint.2020.04.003](https://doi.org/10.1016/j.kint.2020.04.003)
18. Fahmi I. Covid19 Coronavirus Disease 2019 Situation Report - 31. DroneEmprit [Internet]. 2020;2019(February):1-19. Available from: <https://pers.droneemprit.id/covid19/>
19. Acter T, Uddin N, Das J, Akhter A, Choudhury TR, Kim S. Evolution of severe acute respiratory syndrome coronavirus 2 (SARS-CoV-2) as coronavirus disease 2019 (COVID-19) pandemic: A global health emergency. *Sci Total Environ* 2020;730:138996. doi: [10.1016/j.scitotenv.2020.138996](https://doi.org/10.1016/j.scitotenv.2020.138996)
20. Xu Z, Shi L, Wang Y, Zhang J, Huang L, Zhang C, et al. Pathological findings of COVID-19 associated with acute respiratory distress syndrome. *Lancet Respir Med* 2020;8:420-2. doi: [10.1016/S2213-2600\(20\)30076-X](https://doi.org/10.1016/S2213-2600(20)30076-X)
21. Balla M, Merugu GP, Patel M, Koduri NM, Gayam V, Adapa S, et al. COVID-19, modern pandemic: a systematic review from frontline health care providers' perspective. *J Clin Med Res* 2020;12:215. doi: [10.14740/jocmr4142](https://doi.org/10.14740/jocmr4142)
22. Xu L, Liu J, Lu M, Yang D, Zheng X. Liver injury during highly pathogenic human coronavirus infections. *Liver Int* 2020;40:998-1004. doi:[10.1111/liv.14435](https://doi.org/10.1111/liv.14435)
23. Lax SF, Skok K, Zechner P, Kessler HH, Kaufmann N, Koelbling C, et al. Pulmonary Arterial Thrombosis in COVID-19 With Fatal Outcome: Results From a Prospective, Single-Center, Clinicopathologic Case Series. *Ann Intern Med* 2020;173:350-61. doi:[10.7326/M20-2566](https://doi.org/10.7326/M20-2566)
24. Alemzadeh-Ansari M. Coronavirus disease 2019 (COVID-19) and cardiovascular events. *Res Cardiovasc Med* 2020;9:1. doi: [10.4103/rcm.rcm\\_9\\_20](https://doi.org/10.4103/rcm.rcm_9_20)
25. Bois MC, Boire NA, Layman AJ, Aubry MC, Alexander MP, Roden AC, et al. COVID-19-associated nonocclusive fibrin microthrombi in the heart. *Circulation* 2021;143:230-43.
26. Gupta A, Madhavan MV, Sehgal K, Nair N, Mahajan S, Sehrawat TS, et al. Extrapulmonary manifestations of COVID-19. *Nature Medicine* 2020;26:1017-32.
27. Driggin E, Madhavan M V, Bikdeli B, Chuich T, Laracy J, Biondi-Zoccali G, et al. Cardiovascular considerations for patients, health care workers, and health systems during the COVID-19 pandemic. *J Am Coll Cardiol* 2020;75:2352-71.
28. Jiang F, Yang J, Zhang Y, Dong M, Wang S, Zhang Q, et al. Angiotensin-converting enzyme 2 and angiotensin 1-7: novel therapeutic targets. *Nat Rev Cardiol* 2014;11:413. doi: [10.1038/nr cardio.2014.59](https://doi.org/10.1038/nr cardio.2014.59)
29. Naseri E, Mohammadghasemi F, Shams F, Saliminasab S, Karimian P, Rahbar Taramsari M, et al. Histopathological and Serological Findings of Lung, Liver and Heart in a Patient with Corona Virus Disease-2019 (COVID-19): A Case Report. *Journal of Advances in Medical and Biomedical Research* 2021;29:183-8. doi: [10.30699/jambs.29.134.183](https://doi.org/10.30699/jambs.29.134.183)
30. Niazta NA, Ardining H, haq Karimullah MD. The Impact of Cardiac Injury on COVID-19 Patients Mortality: A Systematic Review and Meta-Analysis. *Hear Sci J* 2020;1:19-24.
31. Kochi AN, Tagliari AP, Forleo GB, Fassini GM, Tondo C. Cardiac and arrhythmic complications in patients with COVID-19. *J Cardiovasc Electrophysiol* 2020;31:1003-8. doi: [10.1111/jce.14479](https://doi.org/10.1111/jce.14479).
32. Bangash MN, Patel J, Parekh D. COVID-19 and the liver: little cause for concern. *Lancet Gastroenterol Hepatol* 2020;5:529-530. doi: [10.1016/S2468-1253\(20\)30084-4](https://doi.org/10.1016/S2468-1253(20)30084-4).
33. Chen Y, Gong X, Wang L, Guo J. Effects of hypertension, diabetes and coronary heart disease on COVID-19 diseases severity: a systematic review and meta-analysis. *MedRxiv* 2020; doi: [10.1101/2020.03.25.2004313](https://doi.org/10.1101/2020.03.25.2004313)
34. Clerkin KJ, Fried JA, RaiKhelkar J, Sayer G, Griffin JM, Masoumi A, et al. COVID-19 and cardiovascular disease. *Circulation* 2020;141:1648-55. doi: [10.1161/CIRCULATIONAHA.120.046941](https://doi.org/10.1161/CIRCULATIONAHA.120.046941).
35. Pachiega J, Afonso AJ dos S, Sinhorin GT, Alencar BT de, Araújo M dos SM de, Longhi FG, et al. Chronic heart diseases as the most prevalent comorbidities among deaths by COVID-19 in Brazil. *Rev Inst Med Trop Sao Paulo* 2020;62:e45. doi: [10.1590/S1678-9946202062045](https://doi.org/10.1590/S1678-9946202062045).



## Histopathology Changes of Lung, Liver and Heart of Patients with COVID-19 in Razi Hospital of Rasht

Masoumeh Faghani (Ph.D.)<sup>1</sup>, Erfan Naseri (Ph.D.)<sup>2</sup>, Fahimeh Mohammadghasemi (Ph.D.)<sup>1</sup>, Paridokht Karimian (Ph.D.)<sup>3\*</sup>

1- Cellular & Molecular Research Center, Dept. of Anatomical Sciences, Medical School, Guilan University of Medical Sciences, Rasht, Iran.

2- Dept. of Anatomical Sciences, Student Research Committee, Guilan University of Medical Sciences, Rasht, Iran.

3- Dept. of Pathology, Medical School, Guilan University of Medical Sciences, Rasht, Iran.

Received: 2 May 2021, Accepted: 11 October 2021

### Abstract:

**Introduction:** Covid 19 is an emerging and acute respiratory disease with high prevalence that has spread across whole world. The disease can lead to death by progressive respiratory failure, involvement of other organs, and systemic problems. The present study aim was the survey of the histopathological changes in lung, liver and heart tissues of patients with Covid-19.

**Methods:** In this study, acupuncture biopsy of three organs of lung, liver and heart of 6 patients with Covid-19 disease was performed in Razi Hospital, Rasht, Iran. The samples were collected after death and obtaining the consent inform from the patient's family. All samples were stained with hematoxylin and eosin. Imaging, serological and paraclinical findings of patients were evaluated.

**Results:** Tissue biopsy in this study showed advanced alveolar injury and vascular congestion in the lungs of most patients. Small vascular thrombosis was suspected in patients with advanced clinical history. Examination of liver tissue pathology showed periportal inflammation in the liver, spread of steatosis in liver cells. Signs of mild myocarditis were seen in the heart tissue.

**Conclusion:** Based on the results of this study, changes in liver, heart and lung tissues in patients may be due to secondary side effects of Covid-19, different drug therapies at the onset of Covid-19 disease or the effect of patients' clinical history.

**Keywords:** COVID-19, Heart, Lung, Liver, Histopathology.

Conflict of Interest: No

\*Corresponding author: P. Karimian, Email: paridokhtkarimian@yahoo.com

**Citation:** Faghani M, Naseri E, Mohammadghasemi F, Karimian P. Histopathology changes of lung, liver and heart of patients with COVID-19 in Razi hospital of Rasht. Journal of Knowledge & Health in Basic Medical Sciences 2021;16(3):55-64.